

- [6] Климентович Ю.Л. Статистическая физика. М.: Наука, 1982. 608 с.
- [7] Лифшиц Е.М., Питаевский Л.П. Статистическая физика, Ч. 2. М.: Наука, 1978. 448 с.
- [8] Сколов И.М. // УФН. 1950. Т. 150. № 2. С. 221-255.
- [9] Мальшук А.Г. // Письма в ЖТФ. 1987. Т. 46. В 2. С. 65-67.
- [10] Ма Ш. Современная теория критических явлений. М.: Мир, 1980. 298 с.
- [11] Лейбфрид Г. Микроскопическая теория механических и тепловых свойств кристаллов. М.: Мир, 1963. 312 с.
- [12] Олемской А.И. // ФТТ. 1988. Т. 30. № 11. С. 3384-3394.
- [13] Баланкин А.С. // Письма в ЖТФ. 1989. Т. 15. В. 22. С. 15-20.
- [14] Кузьменко В.А. Новые схемы деформирования твердых тел. Киев: Наукова думка, 1973. 199 с.
- [15] Баланкин А.С. // ФНТ. 1988. Т. 14. № 4. С. 339-347; № 5. С. 498.

Поступило в Редакцию
16 июля 1990 г.

Письма в ЖТФ, том 17, вып. 1

12 января 1991 г.

01; 02

© 1991

К ТЕОРИИ НЕУПРУГИХ СТОЛКНОВЕНИЙ АТОМОВ С БЫСТРЫМИ МНОГОЗАРЯДНЫМИ ИОНАМИ

В.И. М а т в е е в

В последнее время выполнено много работ по исследованиям многократной ионизации сложных атомов при столкновениях с быстрыми многозарядными ионами (см., например, [1] и имеющиеся там ссылки). Обычно использовались ионы большого заряда $U \gg 1$, движущиеся со скоростью $v \gg 1$, причем $Z/v \gg 1$ (атомные единицы). При расчетах таких процессов многоэлектронную ионизацию сложного атома следует объяснять на основе так называемого прямого возбуждения атома сильным полем многозарядного иона [2]. Феноменологически это соответствует обычно используемой в таких случаях модели независимых электронов [3, 4]. Механизму прямого возбуждения соответствует и подход [5], согласно которому возбуждение сложного атома при столкновении с быстрым многозарядным ионом происходит в результате внезапной пе-

редачи импульса атомным электронам. Сечения ионизация атома водорода и двойной ионизации атома гелия, полученные на основе этого простого подхода [5-7] хорошо согласуются с экспериментом. В настоящей работе на основе подхода [5] получены формулы модели независимых электронов, установлены соотношения между сечениями ионизации различной кратности, в качестве примера рассмотрена многократная (до восьми) ионизация атома неона, проведено сравнение с экспериментом.

Согласно [5], вероятность перехода сложного атома из состояния $\Phi_0(\vec{r}_1, \dots, \vec{r}_{N_0})$ в состояние $\Phi_f(\vec{r}_1, \dots, \vec{r}_{N_0})$, \vec{r}_i ($i = 1, \dots, N_0$) - координаты атомных электронов, в результате столкновения с быстрым многозарядным ионом имеет вид

$$W(\vec{q}) = \left| \int \prod_{i=1}^{N_0} d^3\vec{r}_i \Phi_f^*(\vec{r}_1, \dots, \vec{r}_{N_0}) \exp(i\vec{q} \sum_{i=1}^{N_0} \vec{r}_i) \Phi_0(\vec{r}_1, \dots, \vec{r}_{N_0}) \right|^2, \quad (1)$$

где переданный импульс $\vec{q} = 2Z\vec{\delta}/(\sigma b^2)$, $\vec{\delta}$ - прицельный параметр, соответственно W - функция от прицельного параметра. Будем считать атомные электроны различными и каждому электрону приписывать одноэлектронную водородоподобную волновую функцию. Тогда

$$\Phi_0(r_1, \dots, r_{N_0}) = \prod_{i=1}^{N_0} \psi_i(\vec{r}_i), \quad \Phi_f(\vec{r}_1, \dots, \vec{r}_{N_0}) = \prod_{i=1}^{N_0} \psi_i(\vec{r}_i). \quad (2)$$

Поэтому полная вероятность $(N_0 - N)$ - кратной ионизации N_0 - электронного атома, соответствующая попаданию каких-либо $N_0 - N$ электронов в состояния континуума, а остальных N - электронов в любое из состояний дискретного спектра с учетом унитарности вероятности (1) будет иметь вид

$$W(\vec{q}) = \frac{N_0!}{(N_0 - N)! N!} \prod_{i=1}^{N_0 - N} \int d^3k_i \left| \int d^3r_i \psi_{k_i}^*(\vec{r}_i) \exp(i\vec{q}\vec{r}_i) \psi_i(\vec{r}_i) \right|^2 \times \prod_{j=N_0 - N + 1}^{N_0} \left(1 - \int d^3k_j \left| \int d^3r_j \psi_{k_j}^*(\vec{r}_j) \exp(i\vec{q}\vec{r}_j) \psi_j(\vec{r}_j) \right|^2 \right), \quad (3)$$

где \vec{k} - импульс электрона в континууме, $\prod(\dots) = 1$ при $N = 0$.

В дальнейшем будем рассматривать ионизацию высокой кратности $N_0 \gg 1$, $N_0 - N \gg 1$. Вероятность (3) зависит от вектора \vec{q} , однако после усреднения по проекции полного орбитального момента начального состояния атома вероятность будет функцией только от $|\vec{q}|$. Сечение ионизации получается после интегрирования по прицельному параметру δ , либо по переданному импульсу $q = 2Z/(\sigma b)$ в пределах от q_0 до q , определяемых из границ при-

нимности подхода [5]. Необходимость такого обрезания определена недостаточной скоростью убывания (в общем случае, например, при произвольных $N_0, N_0 - N$) неупругого формфактора (1) при $q \rightarrow 0$ и $q \rightarrow \infty$. При ионизации (либо возбуждении) высокой кратности многоэлектронный формфактор (1) сводится к многократным произведениям (3) одноэлектронных формфакторов, такие произведения быстро убывают при $q \rightarrow 0$ и $q \rightarrow \infty$, и необходимость в обрезании отпадает, что позволяет считать $q_0 = 0$ и $q_1 = \infty$. Таким образом, сечение $N_0 - N$ кратной ионизации имеет вид

$$\sigma^{(N_0 - N)+} = 8\pi \frac{Z^2}{\sigma^2} \int_0^{\infty} \frac{dq}{q^3} W(q). \quad (4)$$

В дальнейшем для простоты будем рассматривать ионизацию одной оболочки, тогда N_0 — число электронов в оболочке. Введем среднее по орбитальному моменту l и его проекции m значение одноэлектронного неупругого формфактора для каждого электрона оболочки

$$\rho(q) = \frac{1}{M_n} \sum_{l, m} \left| \int d^3 r q_k^* (\vec{r}) \exp(i\vec{q}\vec{r}) Y_{nlm}(\vec{r}) \right|^2, \quad (5)$$

где суммирование ведется по всем возможным значениям l и m для данной n -оболочки, M_n — число таких значений, n — главное квантовое число. Очевидно, что $\rho(q) \equiv \rho(|\vec{q}|)$ не зависит от углов вектора \vec{q} . Если считать, что эффективный заряд ядра Z^* для всех электронов данной оболочки имеет одно и то же значение, $\rho(q)$ будет иметь смысл средней вероятности ионизации одного электрона. Тогда, заменяя в (3) каждый одноэлектронный формфактор на среднее (5), получим для вероятности ионизации $N_0 - N$ электронов обычное для приближения независимых электронов выражение [4]:

$$W(q) \frac{N_0!}{(N_0 - N)! N!} (\rho(q))^{N_0 - N} (1 - \rho(q))^N. \quad (6)$$

Однако эффективный заряд ядра зависит от степени ионизации. Чтобы учесть это, сделаем в (5) замену $\vec{k} \equiv \vec{k}/Z^*$, $\vec{q} \equiv \vec{q}/Z^*$, $\vec{r} \equiv \vec{r} \cdot Z^*$, соответствующую переходу к кулоновым единицам [8], стр. 147. Тогда правую часть (5) можно вычислять, используя волновые функции атома водорода с зарядом ядра, равным единице, а вся зависимость от Z^* заключается в замене $\vec{q} \equiv \vec{q}/Z^*$. Везде ниже под $\rho(q)$ из (5) мы будем понимать формфактор атома водорода усредненный в соответствии с формулой (5). Такая замена позволяет вычислить сечение ионизации при более общих, чем при выводе формулы (6), предположениях. Рассмотрим сначала сечение полной ионизации оболочки (ионизации всех N_0 электронов), тогда в (3) $N = 0$ и W сводится к произведению N_0 штук

одноэлектронных формфакторов. Введем эффективный заряд ядра, соответствующий полной ионизации оболочки $Z_{N_0}^*$. Заменяя каждый одноэлектронный формфактор на средний (5) получим вероятность полной ионизации

$$W^{N_0^+} = (\rho(q))^{N_0}, \quad (7)$$

где $q \equiv q/Z_{N_0}^*$. Интеграл (4) с вероятностью (7) можно взять асимптотически ($N_0 \gg 1$) методом Лапласа ([9], стр. 71) в предположении, что $\rho(q)$ имеет один максимум на интервале интегрирования. В существовании максимума легко убедиться из (5): при $q \rightarrow 0$, $\rho(q) \rightarrow 0$ из-за ортогональности Y_{nlm} и $\psi_{\vec{k}}$; при $q \rightarrow \infty$, $\rho(q) \rightarrow 0$ из-за осцилляций $\exp(i\vec{q}\vec{r})$. В результате сечение полной N_0 - кратной ионизации оболочки

$$\sigma^{N_0^+} = 8\pi \frac{1}{\sigma^2} \left(\frac{Z}{Z_{N_0}^*}\right)^2 \frac{1}{q_0^3} \sqrt{\frac{-2\pi}{\rho''(q_0)}} \frac{1}{\sqrt{N_0}} (\rho(q_0))^{N_0 + \frac{1}{2}}. \quad (8)$$

Здесь и ниже q_0 - точка максимума функции $\rho(q)$, $\rho''(q_0)$ - значение второй производной в этой точке.

В случае $(N_0 - 1)$ - кратной ионизации вероятность (3) - разность двух членов, причем первый член содержит произведение $N_0 - 1$ штук одноэлектронных формфакторов и соответствует $N_0 - 1$ электрону в континууме, соответствующий эффективный заряд $Z_{N_0-1}^*$, а второй член содержит произведение N_0 штук одноэлектронных формфакторов и соответствует N_0 электронам в континууме, соответствующий заряд ядра $Z_{N_0}^*$. Тогда, вводя средний формфактор (5), получим вероятность $(N_0 - 1)$ - кратной ионизации

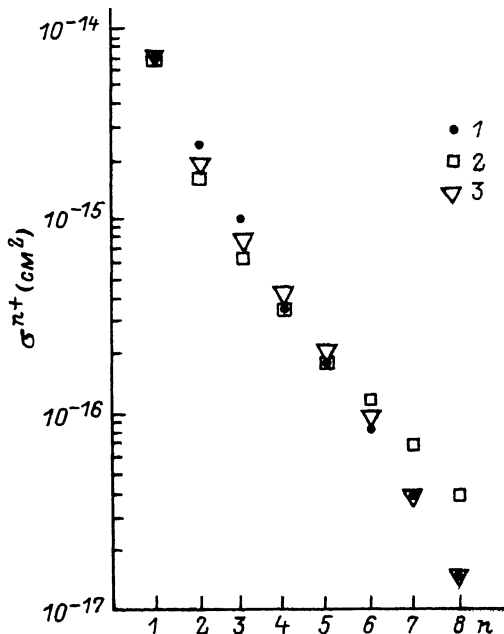
$$W^{(N_0-1)^+} = N_0 (\rho(q'))^{N_0-1} - N_0 (\rho(q''))^{N_0}, \quad (9)$$

где $q' \equiv q/Z_{N_0-1}^*$, $q'' \equiv q/Z_{N_0}^*$. Подставляя (9) в (4) и интегрируя каждый член в отдельности, получим сечение $N_0 - 1$ - кратной ионизации

$$\sigma^{(N_0-1)^+} = N_0 \sigma^{N_0^+} \left[\left(\frac{Z_{N_0}^*}{Z_{N_0-1}^*}\right)^2 \sqrt{\frac{N_0}{N_0-1}} \rho^{-1}(q_0) - 1 \right]. \quad (10)$$

В общем случае $N_0 - N$ - кратной ионизации, действуя аналогично, получим

$$\sigma^{(N_0-N)^+} = \frac{N_0!}{(N_0-N)!N!} \sigma^{N_0^+} \sum_{m=0}^N (-1)^m \left(\frac{Z_{N_0}^*}{Z_{N_0-N+m}^*}\right)^2 \frac{N!}{(N-m)!m!} \sqrt{\frac{N_0}{N_0-N+m}} (\rho(q_0))^{-N+m}, \quad (11)$$



Сечения многократной ионизации атома неона (многозарядными ионами урана U^{32+} с энергией 1.4 мэв/нуклон) σ_{n^+} (см²) в зависимости от степени ионизации n , 1 - эксперимент [1], 2 - расчет [1], 3 - наши результаты.

где $Z_{N_0-N+m}^*$ - эффективный заряд ядра при (N_0-N+m) - кратной ионизации.

Полученные формулы (8, 10, 11) позволяют в принципе вычислить сечения ионизации любой кратности (при условиях $N_0 \gg 1$, $N_0-N \gg 1$), или по известным из эксперимента каким-либо двум сечениям восстановить остальные. Проще всего считать известными $\sigma_{N_0^+}$ и $\sigma_{(N_0-1)^+}$, тогда из (10) легко найти $\rho(q_0)$ и подставить в (11), в результате сечение произвольной N_0-N -кратности ионизации окажется выраженным через $\sigma_{N_0^+}$ и $\sigma_{(N_0-1)^+}$. Результат такого расчета для многократной (до восьми) ионизации неона приведен на рисунке, при расчете эффективный заряд ядра принимался равным степени ионизации, т.е. $Z_N^* = N$. Как видно из рисунка, согласие расчета с экспериментом [1] хорошее даже для ионизации малой кратности формально лежащей вне границы ($N_0-N \gg 1$) применимости формул (8, 10, 11).

С п и с о к л и т е р а т у р ы

[1] Ullrich J., Horbath M., Dandendorff V., Kelbch S., Schmidt-

- [2] M c G u i e r J.H., M ü l l e r A., S c h u c h B., G r o h W., S a l z b o r n E. // Phys. Rev. A. 1987. V. 35. N 6. P. 2479-2483.
- [3] M c G u i e r J.H., W e a v e r L. // Phys. Rev. A. 1977. V. 16. N 1. P. 41-47.
- [4] B e n - I t z a k I., G r o y T.J., L e g g J.C., M c G u i e r J.H. // Phys. Rev. A. 1988. V. 37. N 10. P. 3685-3691.
- [5] М а т в е е в В.И. // ЖЭТФ. 1985. Т. 89. № 6. С. 2021-2025.
- [6] М а т в е е в В.И. // ЖТФ. 1987. Т. 57. № 6. С. 1176-1177.
- [7] А л и м о в Р.А., М а т в е е в В.И. // ЖТФ. 1989. Т. 59. № 9. С. 158-161.
- [8] Л а н д а у Л.Д., Л и ф ш и ц Е.М. Квантовая механика. М.: Наука, 1974. 752 с.
- [9] Ф е д о р ю к М.В. Асимптотика, интегралы и ряды. М.: Наука, 1987. 444 с.

Ташкентский государственный университет

Поступило в Редакцию
7 февраля 1990 г.

Письма в ЖТФ, том 17, вып. 1

12 января 1991 г.

Q1; Q7

© 1991

АХРОМАТИЧЕСКОЕ ВОССТАНОВЛЕНИЕ ВОЛНОВОГО ФРОНТА

И.Н. С и с а к я н, А.М. С м о л о в и ч

Изофазная поверхность при интерференции двух геометрооптических волн обладает способностью восстанавливать эйконал одной из волн при отражении от нее второй волны [1]. В [2] обращено внимание, что это свойство не зависит от длины волны восстанавливающего излучения. Хотя исторически данный механизм восстановления поля был предложен для трехмерных голограмм, фактически он существенно отличается от голографического и представляет самостоятельный интерес.

Пусть объектная $A_o(\vec{r}) \exp[ikL_o(\vec{r})]$ и опорная $A_R(\vec{r}) \exp[ikL_R(\vec{r})]$ волны удовлетворяют скалярным уравнениям геометрической оптики. Здесь $k = \frac{2\pi}{\lambda}$ - волновое число, λ - длина волны излучения, $L_o(\vec{r})$ и $L_R(\vec{r})$ - эйконалы волн, $A_o(\vec{r})$ и $A_R(\vec{r})$ амплитудные функции, \vec{r} - координатный вектор. Интенсивность